

многообразия  $P^0$  следует его замкнутость. Факторизуем пространство  $C$  по  $P^0$  [2,3] и рассмотрим задачу идентификации в факторизованном пространстве. Фактор-пространство  $F = C/P^0$  состоит из классов смежности  $\tilde{\varphi} = \{\varphi + z, \varphi \in P^0, z \in C$ . Два класса  $\tilde{\varphi}$  и  $\tilde{\xi}$  равны, если  $\tilde{\varphi} - \tilde{\xi} \in P^0$ . Отметим, что фактор-пространство  $F$  банахово относительно нормы  $\|\tilde{\varphi}\|_F = \inf_{\varphi \in P^0} \|\varphi + z\|_C$ .

Определим линейный оператор  $\tilde{L}_1 : L_2 \rightarrow F$  по формуле:  $\tilde{L}_1 y = L_1 y$ .

**О п р е д е л е н и е 2.** Систему  $\Sigma$  назовем *c-идентифицируемой (class-идентифицируемой)* [2], если многообразие  $P^0$  конечномерно.

Пусть  $k(\lambda) = \begin{bmatrix} D(\lambda)A_1 & D(\lambda)A_2 & \dots & D(\lambda)A_{m-1} & D(\lambda)A_m \\ \Delta(\lambda)E & 0 & \dots & 0 & 0 \\ 0 & \Delta(\lambda)E & \dots & 0 & 0 \\ \vdots & \vdots & \ddots & \vdots & \vdots \\ 0 & 0 & \dots & \Delta(\lambda)E & 0 \end{bmatrix}$   $(mn \times mn)$ -матрица,

$C(\lambda) = [GD(\lambda)A_1 + G_1\Delta(\lambda), GD(\lambda)A_2 + G_2\Delta(\lambda), \dots, GD(\lambda)A_m + G_m\Delta(\lambda)]$   $(l \times mn)$ -матрица.

Определим матрицы  $C^0(\lambda) = \text{col}[C(\lambda), C(\lambda)k(\lambda), \dots, C(\lambda)k^{m-1}(\lambda)]$ ,  $K(\lambda) = k^m(\lambda)$ ,  $L_n(\lambda) = \text{col}[C^0(\lambda), C^0(\lambda)K(\lambda), \dots, C^0(\lambda)K^{n-1}(\lambda)]$ .

Параметрический критерий *c-идентифицируемости* системы  $\Sigma$  доставляет следующая

**Т е о р е м а 2.** Условие

$$\text{rank} \begin{bmatrix} L_n(\lambda) \\ K^n(\lambda) \end{bmatrix} = \text{rank} L_n(\lambda), \text{ для почти всех } \lambda \in K, \quad (5)$$

является необходимым и достаточным для того, чтобы система  $\Sigma$  была *c-идентифицируемой*.

Далее в докладе приводится граничная задача для восстановления текущего состояния в предположении, что система  $\Sigma$  является *c-идентифицируемой*.

**Литература** 1. Хейл Дж. Теория функционально-дифференциальных уравнений. М., 1984. 2. Метельский А. В. // Дифференциальные уравнения. 1992. Т.28, №11. С. 1969-1976. 3. Метельский А. В. // Дифференциальные уравнения. 1995. Т.31, №8. С.1353-1360.

## В БИОЛОГИЧЕСКОЙ СТРУКТУРЕ

*Хиревич С.И., БГУ, Минск*

Метод пульсирующего градиента магнитного поля широко применяется для изучения диффузионного движения и времени ЯМР-релаксации молекул жидкости в биологической среде [1, 2]. Создание математической модели для изучения результатов, полученных при ЯМР-измерениях важно для дальнейшего развития данных методов измерений и обработки экспериментально полученных данных. Существуют различные подходы к этой проблеме. Например, модели, основанные на методе Монте-Карло [3, 4, 5]. Также существуют аналитические модели, основанные на так называемом приближении дельта-импульсного градиента [6, 7, 8] и, наконец, численные модели, основанные на решении 2-го закона Фика для диффузии [9, 10]. В русле последнего подхода ведётся достаточно много исследований. Не так давно была реализована одномерная модель многоячейной системы и двумерная в полярных координатах [10, 12]. Эти программы предназначены для решения численных задач с помощью конечно-разностной схемы. Известно, что этот метод даёт хорошую точность решения. Однако, постоянство шага сетки – особенность конечно-разностного метода. Отсюда вытекает необходимость решать неоправданно большую систему уравнений для моделирования биологических объектов, части которых имеют широко варьируемые размеры. Метод конечных элементов устраняет этот недостаток – вычислительная область может быть покрыта сеткой с нерегулярным шагом. Этот метод уже реализован в среде FEMLAB (развитие PDE toolbox MATLAB).

Для того, чтобы оценить возможность использования пакета FEMLAB для изучения результатов ЯМР измерений в пористой и биологической среде, мы выполнили большое количество вычислительных экспериментов. Сначала мы проверили соответствие решений, полученных при помощи пакета FEMLAB с широко известной аналитической моделью Бронштейна [9]. Последняя описывает затухание магнетизации во времени, происходящее только за счёт диффу-

зии частиц через частично проницаемую мембрану (без учёта импульсов градиента магнитного поля). Этот процесс математически можно описать следующим образом:

$$\begin{aligned} \frac{\partial C(\vec{r}, t)}{\partial t} &= \bar{\nabla}(D\bar{\nabla}C(\vec{r}, t)) \\ (\hat{n}D\bar{\nabla}C(\vec{r}, t) + \rho C(\vec{r}, t))|_S &= 0, \quad C(\vec{r}, 0) = 1 \end{aligned} \quad (1)$$

Согласно нашим результатам, модель показала практически полное соответствие с моделью Бронштейна.

Следующим шагом в наших исследованиях являлся более сложный случай – пульсирующий градиент магнитного поля для цилиндрических ячеек. Аналитическое решение для этого случая изложено в работах [6]. Для получения результатов мы решили численно уравнение (2) для одноячейстой цилиндрической системы с частично проницаемой мембраной:

$$\begin{aligned} \frac{\partial C(\vec{r}, t)}{\partial t} &= \bar{\nabla}(D\bar{\nabla}C(\vec{r}, t)) + ig(t)r_x C(\vec{r}, t) \\ (\hat{n}D\bar{\nabla}C(\vec{r}, t) + \rho C(\vec{r}, t))|_S &= 0, \quad C(\vec{r}, 0) = 1 \end{aligned} \quad (2)$$

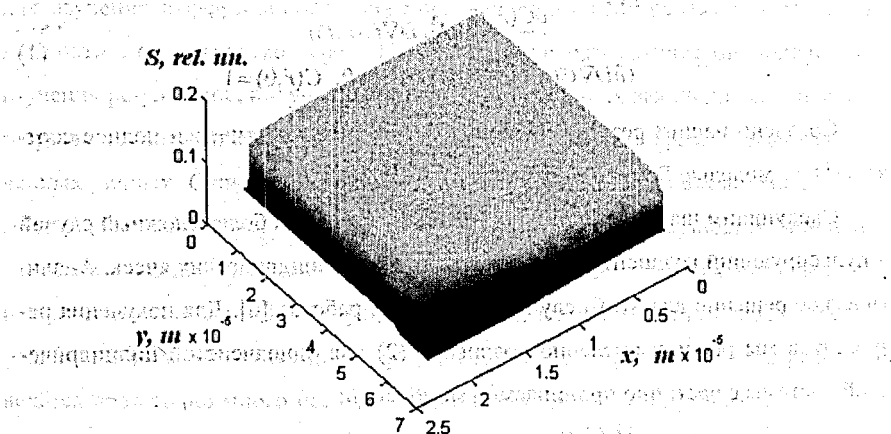
где  $g(t)$  – это функция, учитывающая влияние градиента магнитного поля,  $\gamma$  – гиромагнитное соотношение, и  $r_x$  – компонент радиус вектора, который направлен вдоль градиента поля. Аналогично [8], мы решали уравнение, считая, что градиент магнитного поля отсутствует, а затем учитывали его влияние (умножая на коэффициент, характеризующий влияние градиента):

$$\begin{aligned} \frac{\partial C^*(\vec{r}, t)}{\partial t} &= \bar{\nabla}(D\bar{\nabla}C^*(\vec{r}, t)) - R(\vec{r})C^*(\vec{r}, t), \\ C(\vec{r}, t) &= C^*(\vec{r}, t) * \exp(ig(t)r_x). \end{aligned} \quad (3)$$

В результате решения, мы получили следующее: разработанная численная модель дала хорошее согласование с результатами работы [6]. При этом было получено меньшее отклонение от аналитического решения, чем при использовании цилиндрической модели [10].

После изучения возможностей пакета FEMLAB, мы попробовали применить разработанный численный алгоритм для моделирования достаточно ре-

листочной системы – двумерная структура, представляющая собой четверть биологической клетки (вакуоль, цитоплазма, клеточная стенка) и дополнительное межклеточное пространство.



*Рис. 1. Пространственное распределение магнетизации для системы 'четверть-клетки-плюс-окрестность' при величине градиента, равной 1 Т/м и времени наблюдения 0,6 с.*

Результаты вычислений, полученные для такой структуры, представлены на рис. 1. Сетка, покрывающая область вычислений, состоит приблизительно из 30 тыс. треугольников и 15 тыс. узлов. Внешние границы модели закрыты. Вычисления пространственного распределения магнетизации в 5 градиентных и 24 временных точках заняли порядка 12 часов на Pentium III, 866 МГц, 256 Мб ОЗУ. Адекватность построенной модели проверялась путем сравнения с результатами ранее опубликованных работ [5-11], а также качественно - с данными экспериментов над простейшими реальными системами, полученными в Вагенингенском университете (Нидерланды).

В рамках данного проекта была проведена большая работа с целью исследования применимости пакета FEMLAB при моделировании самодиффузии и времени затухания в ЯМР-измерениях. В действительности, FEMLAB позволяет проводить моделирование поведения магнетизации в многоячейной системе с произвольной геометрией. Метод конечных элементов – это основной метод

численного решения ДУ в частных производных в среде FEMLAB. Главное свойство этого приближения с точки зрения моделирования ЯМР измерений в биологической среде – это возможность построения нерегулярной сетки, в результате чего мы получаем отсутствие неопределённости в представлении мембраны. Пользовательский интерфейс FEMLAB предоставляет широкую функциональность. Но на пути оптимизации времени вычислений появляется необходимость разработки отдельного программного модуля для применения метода конечных элементов для моделирования ЯМР-измерений. В настоящее время ведется его разработка. В рамках этой задачи создана подпрограмма, выполняющая триангуляцию Делоне произвольной двумерной области.

Предложенная численная модель позволяет описывать поведение магнетизации в двумерном пространстве для систем произвольной конфигурации, что является шагом вперед по сравнению с ранее опубликованными результатами. Разработанные алгоритмы будут использованы для обобщения модели на трёхмерное пространство.

Литература. 1. J.E.M.Snaar and h. Van As, *Biophys. J.*, 63, P. 1654. 1992. 2. H. Van As and D. van Dusschoten, *Geoderma*, 80, P. 389. 1997. 3. B.Balinov, B.Jonsson. P.Linse, Olle Soderman, *J.Magn.Res. A* 104, P. 17. 1993. 4. H.Gudbjartsson, S.Patz, *IEEE Transactions on medical imaging*, 14, No. 4, 1995, P. 636. 5. R.Valiulin, V. Skirda, *J. Chem. Phys.* 114, No. 1, P. 452. 2001. 6. J.E.M.Snaar, H.Van As, *J.Magn.Res. A* 102, P. 318. 1993. 7. P.Linse, O.Soderman, *J.Magn.Res. A* 116, P. 77. 1995. 8. P.T.Callaghan, *J.Magn.Res. A* 113, P. 53. 1995. 9. T.A.Zawodzinski, T.E. Springer, M.Neeman, and L.O. Sillerud, *Israel J. Chem.* 32, P. 281. 1992. 10. E.G.Novikov, D.van Dusschoten, H. Van As, *J.Magn.Res. A* 135, P. 522. 1998. 11. K.R.Brownstein and C.E.Tarr, *Phys. Rev.* 19, P. 2446. 1979. 12. L. van der Weerd, S.M. Melnikov, F.J. Vergeldt et al. *J.Magn.Res. A*, 156, P. 213. 2002.

### ЧИСЛЕННЫЙ МЕТОД РЕШЕНИЯ ЛИНЕЙНОЙ ЗАДАЧИ ОПТИМАЛЬНОГО УПРАВЛЕНИЯ С ПАРАМЕТРАМИ

Хомичукя Т.Г., БГУ, Минск

Функция  $u(t)$ ,  $t \in T = [t_*, t^*]$ ,  $t_* < t^* < +\infty$ , называется дискретным управлением с периодом квантования  $h$  ( $h = (t_* - t^*)/N$ ,  $N$  – натуральное число), если  $u(t) = u(t_k)$ ,  $t \in [t_k, t_{k+1}[$ ,  $t_k = t_* + kh$ ,  $k = \overline{0, N-1}$ .

В классе дискретных управлений рассматривается линейная задача терми-